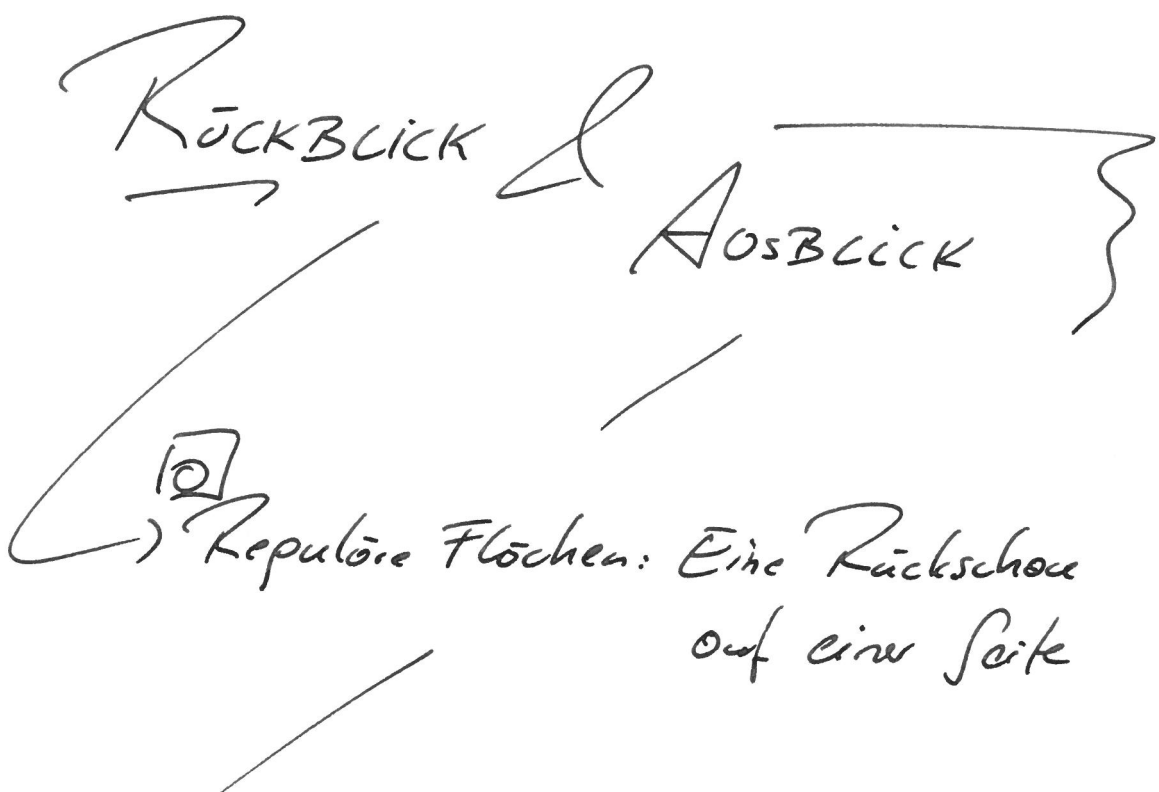


2015-01-26/1

R.S. SEMIKAK Analysis / Angew. Math

ELEMENTARE DIFFGEOMETRIE:

Die Geometrie von Kurven & Flächen



10 Reguläre Flächen: Eine Rückschau
auf einer Seite

11) ABSTRAKTE PANNIGFACTIGKEITEN
& RIEMANNSCHE GEOMETRIE

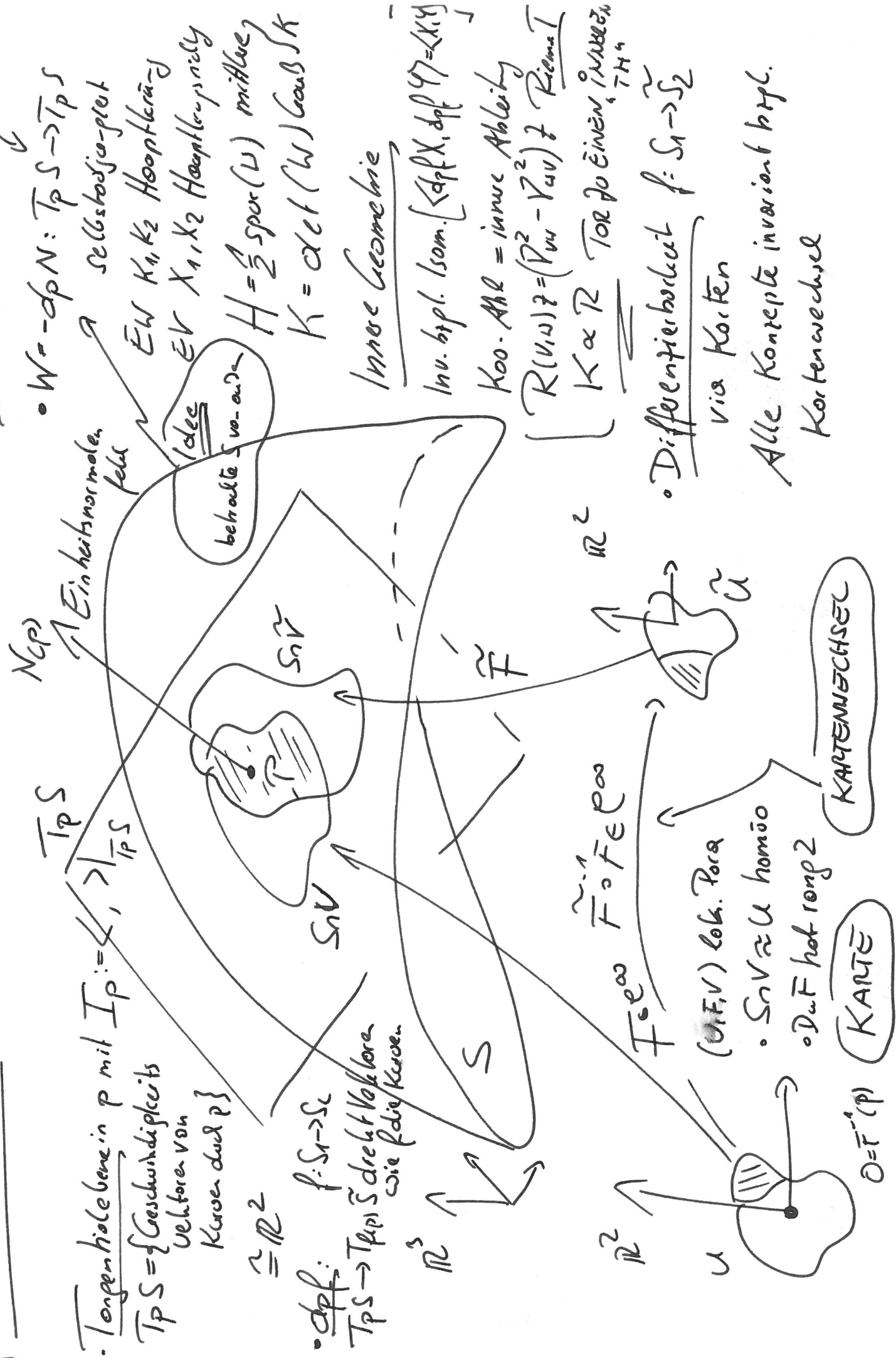
12) LORENTZ - GEOMETRIE

& AUG. RELATIVITÄTSTHEORIE

10) Belobäre Flächen: Eine Rückschau auf einer Seite

Wechsel des Geschlechts

Krümmung:



1) ABSTRAKTE MF & RIEMANN GEOMETRIE

→ Th. Eingemum & Umfeld legen nahe, dass der umgebende Raum \mathbb{R}^3 nicht nötig ist, um die Geometrie von Flächen zu studieren

[zd. der umgebende Raum spiegelt sogar Eigenschaften wider, die die Fläche intrinsisch gar nicht hat...]

→ Abstrakte Riemannflächen statt rep. Flächen

→ Zutaten: • Eine Menge M

(genannt ATLAS)

• Eine abzählbare Familie von Karten

$\varphi: \mathbb{R}^n \supset U \rightarrow \varphi(U) =: V \subseteq M$ bijektiv, sd
offen



- φ auf U abdecken [$\forall p \in U \exists$ Karte: $p \in V$]

- verträglich sind, d.h.

$\tilde{\varphi}^{-1} \circ \varphi: \mathbb{R}^n \supset \varphi^{-1}(V \cap \tilde{U}) \rightarrow \tilde{U} \subseteq \mathbb{R}^n$ $\cong \mathbb{R}^n$

- Punkte durch offene Mengen getrennt werden

können: $\forall p \neq q, p \in V, q \in \tilde{V} \exists$ offene Mengen

$W \subseteq U, \tilde{W} \subseteq \tilde{U}: p \in \varphi(W), q \in \tilde{\varphi}(\tilde{W}), \varphi(W) \cap \tilde{\varphi}(\tilde{W}) = \emptyset$



2017-01-26/4

→ Strukturen können jetzt von U bis \mathbb{R}^n auf
 $\varphi(U)$ bzw \mathcal{D} transportiert werden; z.B.
offene Mengen: $W \subseteq \mathcal{D}$ heißt off., falls
 $\varphi^{-1}(W) \subseteq U$ offen

damit erhalten wir prodis, dass φ ein Homöomorphismus,
ist

→ DEF. (Differenzierbare Pf)

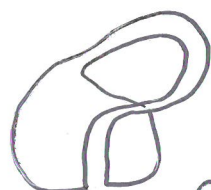
{ Eine n -dimensionale (obstolte, C^∞) Mf ist eine
Menge M zusammen mit einem Atlos.

→ Anschaulich: M schaut lokal von jedem

Pkt so aus, wie der \mathbb{R}^n -Vorwurf: plausibel
nicht

→ Bsp • reguläre Flächen sind 2-d Mf

• Kleinische Flasche



2d-Mf

keine reg. Fläche

[Im \mathbb{R}^n ohne selbst. dargestellbar]

• $SO(3)$ Drehgruppe

→ Gruppe + Mf \sim LIEGRUPPEN

Mf ist Der Grundbegriff der DIFFGEO

DIFFERENTIALRECHNUNG AUF \mathcal{M}

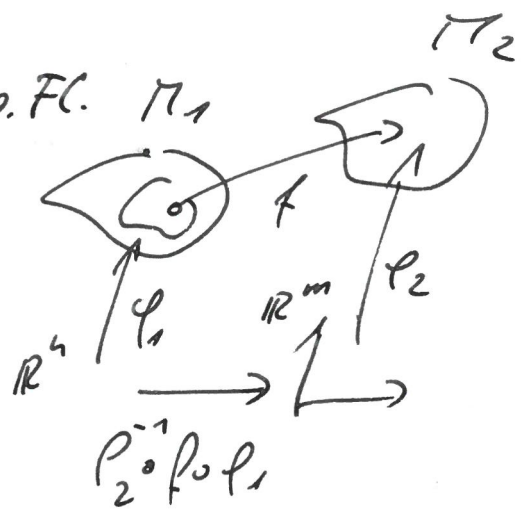
2015-01-26/15

- glatte Abb., ähnlich wie auf reg. FL. \mathcal{M}_1

$$f: \mathcal{M}_1 \rightarrow \mathcal{M}_2 \in \mathcal{C}^\infty$$

$$\Leftrightarrow f_2^{-1} \circ f \circ \varphi_1 \in \mathcal{C}^\infty$$

$$\checkmark \text{Ketten ob Abb. } R^n \rightarrow \mathcal{M}^m$$



- Tangentialraum, ähnlich wie für reg. FL.

- Ein Tangentialvektor X in $p \in \mathcal{M}$ ist eine

Äquivalenzklasse von param. Kurven $c: (-\varepsilon, \varepsilon) \rightarrow \mathcal{M}$ mit $c(0) = p$ wobei:

$$c \sim \tilde{c} : \Leftrightarrow (c \circ c^{-1})(0) = (\tilde{c} \circ c^{-1})(0)$$



- $T_p \mathcal{M}$ ist die Menge aller solcher ÄK



- $T_p \mathcal{M} \cong R^n$

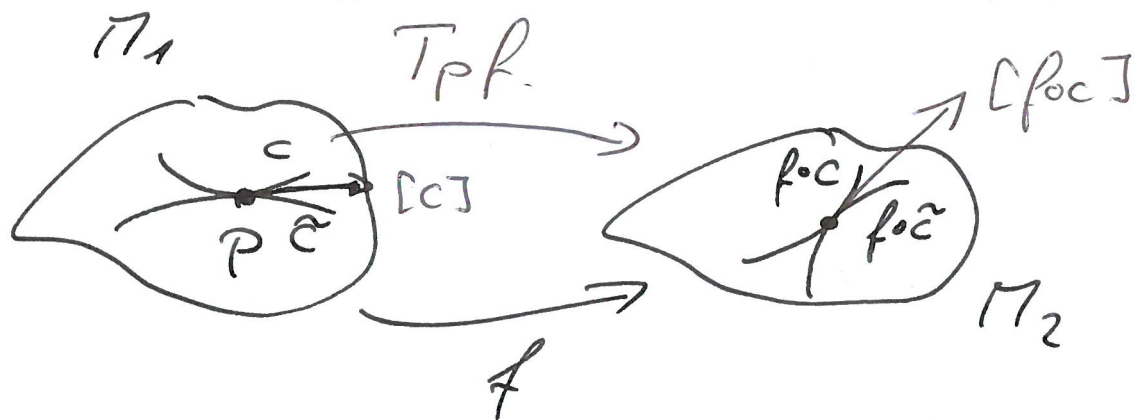
- Tangentialabbildung ($\hat{=}$ Ableitung in einem Pkt.)

Klasse der Kurve c

$$\overline{T_p f} = df_p: \overline{T_p \mathcal{M}_1} \ni [c] \mapsto [f \circ c] \in \overline{T_{f(c)} \mathcal{M}_2}$$

$T_p f$ dreht die Vektoren, so wie f die Kurven

2011-01-26/16



- Loh. Darstellung mithl. Jacobimatrix von

$$\varphi_2^{-1} \circ \varphi_f \circ \varphi_1$$

\rightsquigarrow Analysis AOF M_F / Geobace Analysis

\rightarrow Geometrie AOF $T_p M$ \hookrightarrow Verstellung wie bei top. Fl.

- Vollen wieder Winkel & Längen definieren \rightsquigarrow Brüche Ersatz für I_p



- Eine Riemann-Metrik auf M ist eine Abb.

$$g: M \ni p \mapsto g(p) : T_p M \times T_p M \rightarrow \mathbb{R}$$

so dass g_p bilinear ein Skalarprodukt symm: $g_p(X + \alpha Y, Z) = g_p(X, Z) + \alpha g_p(Y, Z)$
auf $T_p M$ pos. def.: $g_p(X, X) \geq 0 ; = 0 \Leftrightarrow X = 0$

Z) Krümmung (ganz ähnlich wie für die innere Geometrie reg. Fl.)

- Christoffelsymbole $\overset{\text{Komp vor g}}{\Gamma_{ijk}^l := \frac{1}{2}(\delta_{ijk}^l + \rho_{kij}^l - \rho_{ikj}^l)}$

$$\boxed{\Gamma_{jk}^i = \rho^i_{e} \Gamma_{ejk}^{e}} \quad \left. \begin{array}{l} \rho_{ij}^l \\ \frac{\partial \rho_{ij}^l}{\partial u^k} \end{array} \right\} \text{in einer Karte}$$

$\left. \begin{array}{l} \text{Einsteinische} \\ \text{Suummenkonvention} \end{array} \right\}$

- koo. Ableitung eines

Vektorfeldes $X: M \ni p \mapsto X_p \in T_p M$
nach einem VF V

$$\boxed{\nabla_V X^i := V^j \frac{\partial X^i}{\partial u^j} + \Gamma_{jk}^i X^j V^k}$$

- Riemann tensor

$$R(V, W)Z = D_V D_W Z - D_W D_V Z - [D_V, D_W]Z$$

$$\begin{aligned} R_{jkl}^i &= \Gamma_{kjl}^i - \Gamma_{klj}^i + \Gamma_{em}^i \Gamma_{kj}^{m\alpha} - \Gamma_{km}^i \Gamma_{lj}^{m\alpha} \\ &\propto R^2 + \Box R \propto (\partial g)^2 + \partial^2 g \end{aligned}$$

hat $C_n = \frac{1}{12} n^2(n^2-1)$ unabh. Komponenten: $\begin{array}{ccccccc} n & = & 2 & 3 & 4 & 5 & 6 & 7 \\ C_n & = & 1 & 6 & 20 & 50 & 105 & 140 \end{array}$

\rightarrow Geodäten sind Kurven $\gamma: I \rightarrow M$

So dass

$$\overset{R}{\cancel{\int}} \dot{\gamma}^j \ddot{\gamma}^j = 0 \quad [= \ddot{\gamma}^i + \Gamma_{jk}^{ij} \dot{\gamma}^j \dot{\gamma}^k]$$

$\dot{\gamma}$ ist längs γ konstant

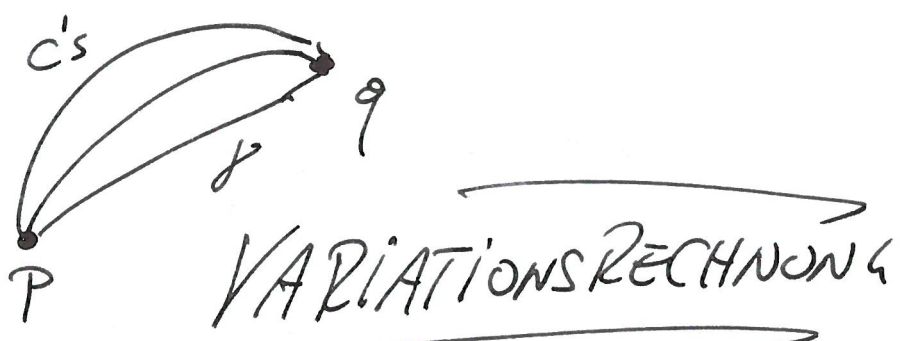
γ hat keine Beschleunigung
 γ ist minimal gekrümmmt

$\Leftrightarrow \gamma$ minimiert lokal die Länge, d.h.

$$L(\gamma) := \int_a^b g_{\gamma(t)}(\dot{\gamma}(t), \dot{\gamma}(t)) dt$$

ist minimal unter allen Kurven

$$C \text{ mit } c(0) = \gamma(0) = p; c(b) = \gamma(b) = q$$



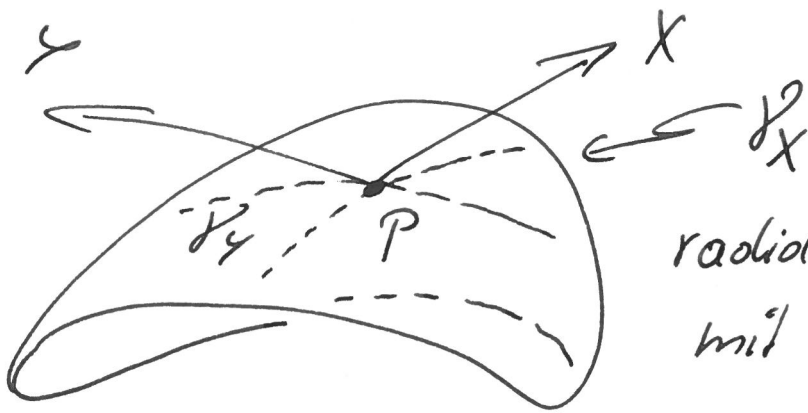
ODE-Theorie

eine Art Extremwertaufgabe für das Längenfunktional um Raumkurven

\Rightarrow Gegeben $p \in M, X \in T_p M$

$\Rightarrow \exists!$ Geodäte, die in p mit $\dot{\gamma}(p) = X$ startet

2015-01-26/19



radiale Geod. in P
mit Geschw X

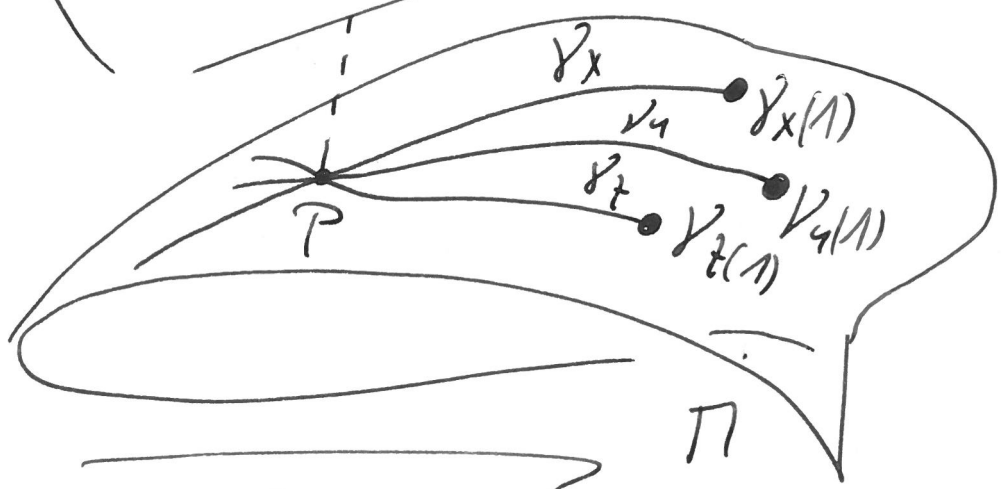
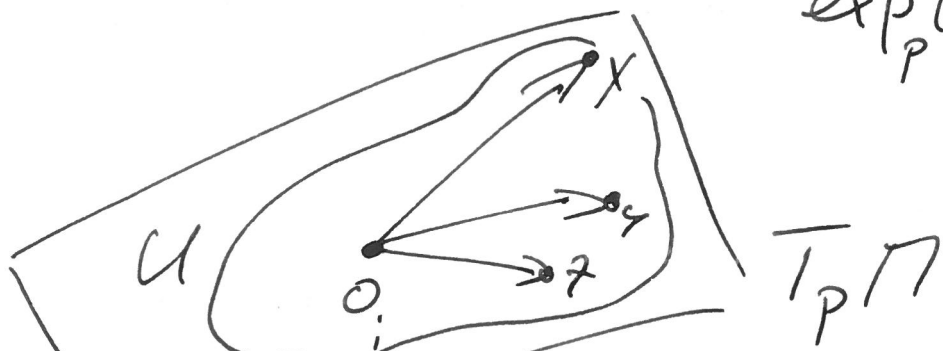
NORITACKOORDINATEN / EXPONENTIALEABBILDUNG

- Geodäten liefern eine besonders tolle Karte

Defbereich ist hier eine Umgebung U von 0

$$\text{in } T_P \Pi \cong \mathbb{R}^4$$

$$\exp_P(X) = \gamma_X(1)$$



→ RIEMANN GEOMETRIE

3 Lorentz Geometrie & ART

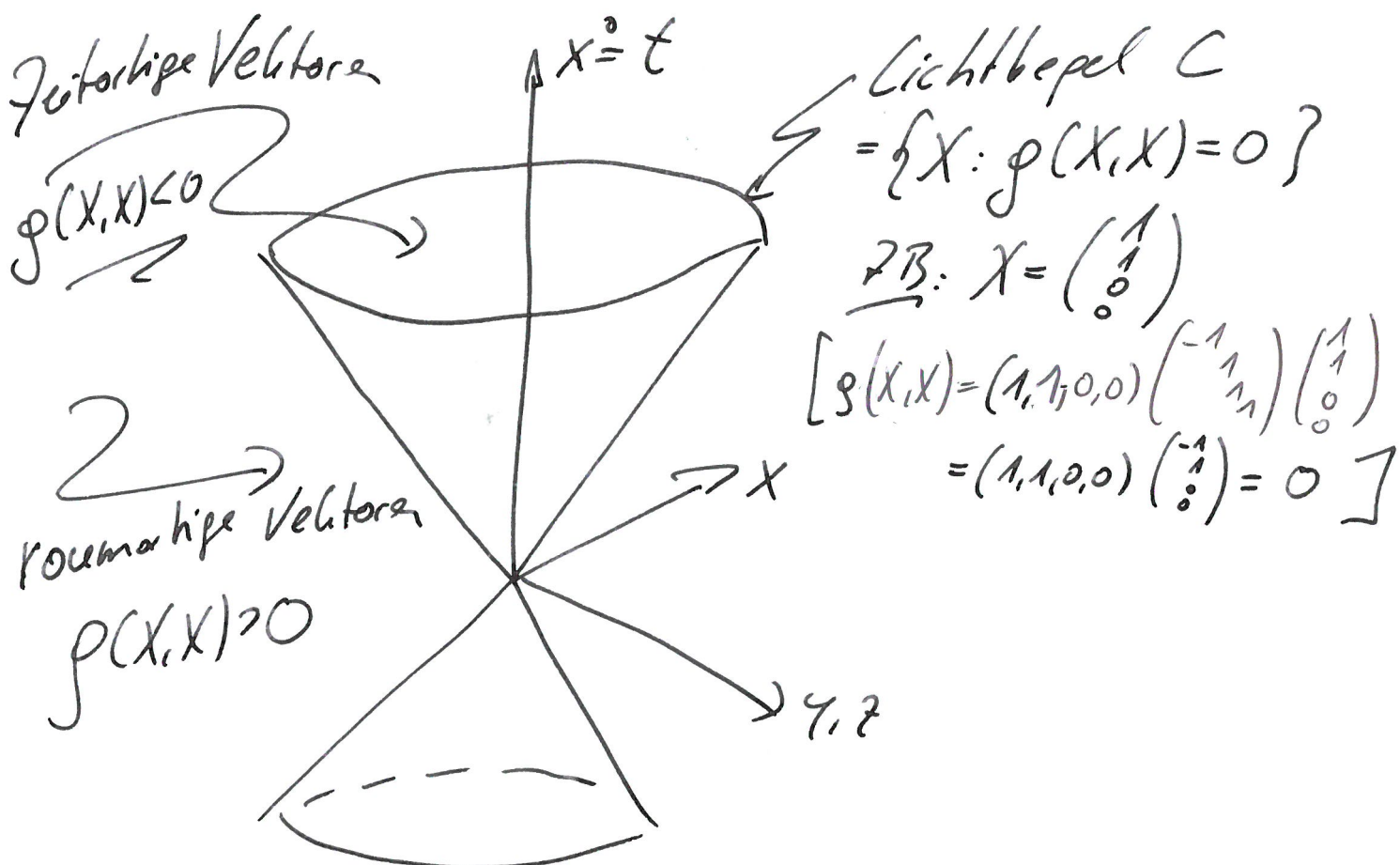
2015-01-26/110

→ funktioniert so wie R-Geo nur, dass $g(p)$ kein Skalarprodukt ist sondern nur mehr eine nichtentartete symm BLF

sollt pos definit sein nur: $g_p(x,y) = 0 \nRightarrow x=0$

→ der ist jedoch schwächer als $g_p(x,x) > 0$
 \exists Vektoren mit $g_p(x,x) = 0, x \neq 0$ $\quad \quad \quad = 0 (=) x=0$

URBEISPIEL: Der Poincaré-Kegel $(\mathbb{R}^4, \begin{pmatrix} -1 & & & \\ & 1 & & \\ & & 1 & \\ & & & 1 \end{pmatrix})$



2015-01-26 11

- Da PR ist die Röhre der SRT

→

Einstein 1905 [Onnes microhelicis]

$p \in M$ heißt Ereignis, $p = (t, x, y, z)$, $p' = (t', x', y', z')$

dann ist der raumzeitliche Abstand von p & p'

$$g\left(\begin{pmatrix} t \\ x \\ y \\ z \end{pmatrix}, \begin{pmatrix} t' \\ x' \\ y' \\ z' \end{pmatrix}\right) = -tt' + xx' + yy' + zz'$$

= 0 falls p, p' auf einem
Lichtstrahl liege
(Fotodilatation)

L: Klass Mechanik + ED +

3 konsequent Umpuscht, dass $c = v_{max}$ unabhängig vom Beob.

→ ART: Einsteins Th von Raum, Zeit & Materie

3 SRT + Gravitation

Einstein 1915

Idee: Gravitation nicht
universell; daher
als Expansion oder

Raumes beschreibbar – und zwar als Kri-

→ 100 Jahre
ÖAW-Ausstellung 1.10.-6.11.

- T_{ij} : Energie-Impuls Tensor $E=mc^2$
 beschreibt alle Energie, Drosse, Kräfte
 (Rad + ED) in einer (4×4) -Matrix

• $T_{ij} = T_{ji}$ symm, $T_{ii}^j = 0$ spw frei

• $\text{div } T = D^i T_{ij} = 0$ Energiehalbg

Geometrie

$R_{ij} := R^{\ell}_{i\ell j}$... Ricci-tensor

erfüllt $R_{ij} = R_{ji}$, $D^i R_{ij} = 0$

$G_{ij} := R_{ij} - g_{ij} R^{\ell}_{\ell}$... Einstein-tensor

Punktrng
fasshld spw frei

$$\text{Einstein Gl.} \xrightarrow{\text{Punktrng}} G_{ij} = 8\pi T_{ij} \quad \left. \begin{array}{l} \text{Punktrng} \\ \text{ist ob R} \end{array} \right\}$$

Zu lesen als $G_{ij}(g) \propto (\partial g)^2 + \dots$

10 gekoppelte quasilinear PDE 2. Ordn. für g